

DNS

Sujet

Diffusion thermique dans un fil électrique.....	1
I. Première partie.....	1
II. Deuxième partie.....	2
III. Troisième partie.....	3

Diffusion thermique dans un fil électrique

Toute l'étude est réalisée en régime permanent.

I. Première partie

On considère un fil métallique cylindrique, homogène, de section droite S dont le périmètre vaut p et de longueur L . Le rayon de ce fil est supposé petit par rapport à sa longueur. Le métal constitutif possède une conductivité thermique λ , une résistivité électrique ρ , une masse volumique μ et une capacité thermique massique c .

Dans la première partie de l'étude, les parois latérales du fil sont parfaitement calorifugées et les extrémités sont maintenues à des températures T_1 et T_2 (avec $T_1 > T_2$ grâce à des thermostats. La température $T(x)$ dans le fil ne dépend que de l'abscisse x (Figure 1) avec $T(0) = T_1$ et $T(L) = T_2$.

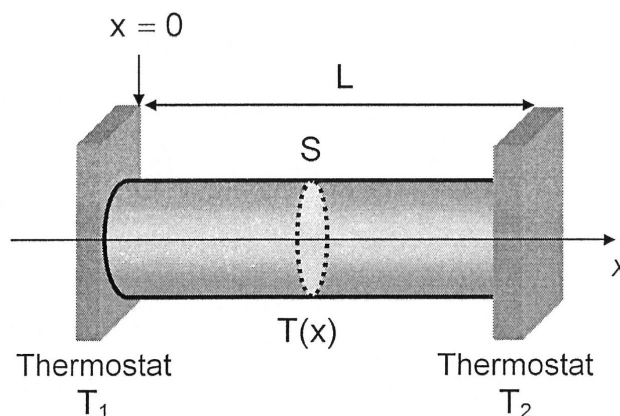


Figure 1

1. Rappeler la loi de Fourier pour une densité volumique de courant thermique notée \vec{j}_{th} ;

exprimer le flux (ou puissance) thermique Φ_{th} traversant une section droite S du fil.

- Établir, à l'aide d'un bilan énergétique sur une tranche élémentaire du fil de section S et de longueur dx , l'équation différentielle vérifiée par la température $T(x)$. En déduire la loi de répartition de $T(x)$ en fonction de T_1 , T_2 , L et x . Tracer schématiquement cette répartition de température en fonction de x .
- Exprimer la puissance thermique Φ_2 cédée à la source de température T_2 en fonction de λ , S , T_1 , T_2 et L .

II. Deuxième partie

Le fil est maintenant parcouru par un courant électrique continu d'intensité I répartie uniformément sur toute la section S (*Figure 2*).

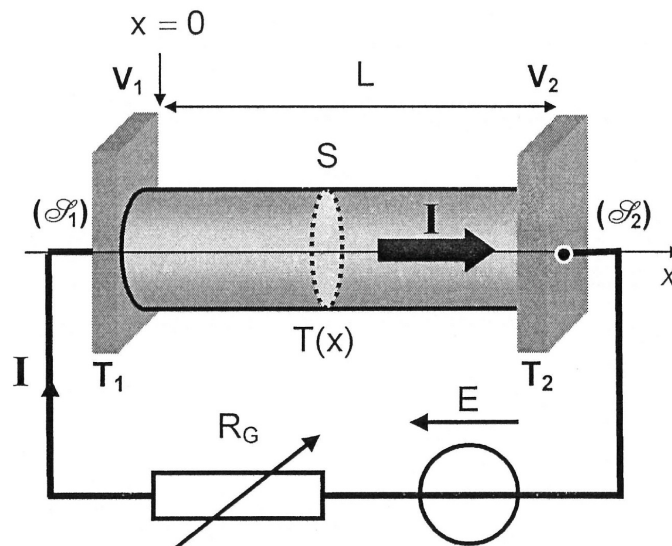


Figure 2

Les sections terminales (\mathcal{S}_1) et (\mathcal{S}_2) sont maintenues simultanément à des températures constantes T_1 et T_2 et à des potentiels constants V_1 et V_2 . Après établissement d'un régime stationnaire, les surfaces isothermes et équipotentiels sont des plans orthogonaux à l'axe Ox .

La résistivité électrique ρ du fil est ici supposée indépendante de la température. Les dimensions du fil ne varient pas avec la température.

- Exprimer, par application de la loi d'Ohm, la résistance dR d'une tranche élémentaire du fil, de longueur dx et de section S ; en déduire la puissance thermique volumique : $\mathcal{P}_{th,v}$ produite au sein du fil, en fonction de l'intensité I , de S et ρ .
- Établir l'équation différentielle vérifiée par la température $T(x)$. En déduire l'expression de $T(x)$, puis celle de la densité volumique de courant de chaleur $j_{th}(x)$ en fonction de ρ ,

λ , S , T_1 , T_2 , L , x et I .

6. Écrire le courant de chaleur où flux thermique Φ_{th} le long du fil, en notant $\mathcal{C} = \frac{\lambda S}{L}$ sa conductance thermique et R sa résistance électrique. Tracer, toujours avec $T_1 > T_2$, l'allure de la répartition de température $T(x)$ en distinguant les cas où le terme $\frac{1}{2} R I^2$ est inférieur ou supérieur à la quantité $\mathcal{C} (T_1 - T_2)$. Commenter.
7. Déterminer la puissance thermique Φ'_2 désormais cédée à la source de température T_2 . Interpréter physiquement le résultat obtenu.

III. Troisième partie

Le dispositif précédent est maintenant placé dans une enceinte maintenue à une température uniforme T_a . Le fil est relié à deux bornes maintenues rigoureusement à la même température T_a . La capacité thermique de ces bornes est suffisamment grande pour que leurs températures restent constantes et égales à T_a (*Figure 3*).

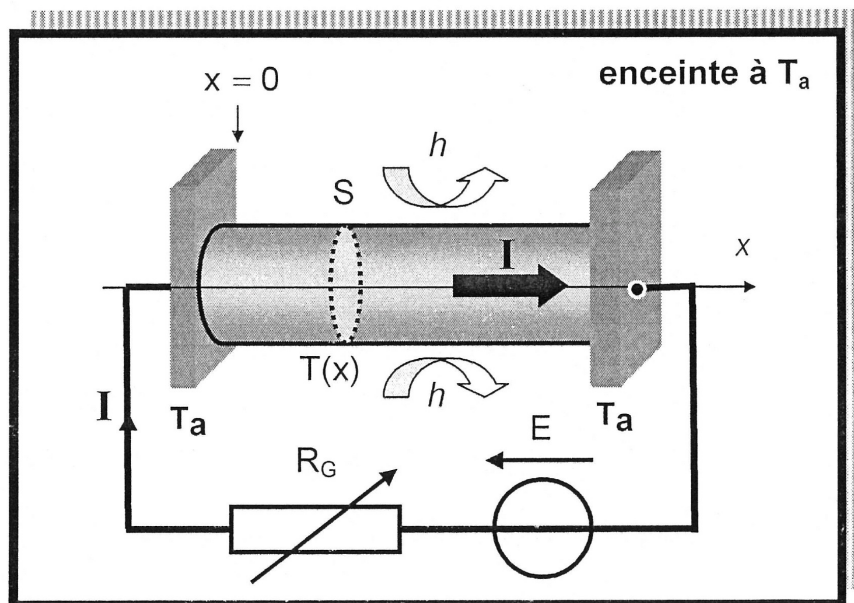


Figure 3

Le fil subit, à travers sa surface latérale Σ , des pertes thermiques conducto latérales; elles correspondent à la loi de Newton. Le coefficient d'échange par unité de surface est désigné par h .

Ce dispositif est destiné à un banc expérimental de mesure de la conductivité thermique du fil métallique ; afin d'améliorer la précision de la mesure, il convient de tenir compte de la variation de la résistivité électrique en fonction de la température, suivant la loi: $\rho(x) = \rho_a [1 + \beta (T(x) - T_a)]$,

où ρ_a désigne la résistivité électrique à la température T_a et β une constante positive.

8. Proposer, en raisonnant sur une tranche élémentaire de fil de longueur dx et de section S , un bilan des flux thermiques en présence en déduire l'équation différentielle vérifiée par la grandeur

$\theta(x) = T(x) - T_a$ sous la forme: $\frac{d^2 \theta(x)}{dx^2} + m^2 \theta(x) = -k$. Exprimer m^2 en fonction du périmètre p de la section droite, de h , λ , ρ_a , β , S et I , puis écrire k en fonction de λ , ρ_a , S et I .

9. Montrer que, selon la valeur de l'intensité I du courant, trois types de solutions mathématiques de $\theta(x)$ sont attendues. (aucune résolution de l'équation différentielle n'est demandée)

On réalise l'expérience suivante : le fil est alimenté par un courant dont l'intensité I_0 correspond au cas particulier où $m^2 = 0$.

10. Préciser la valeur I_0 de cette intensité en fonction de h , p , ρ_a , β et S . Résoudre l'équation différentielle qui en résulte en établissant la loi de variation de la température $\theta(x)$. Illustrer son évolution à l'aide d'un schéma. Analyser physiquement le résultat obtenu.

11. Exprimer la résistance électrique R_a du fil, à la température uniforme T_a puis celle de sa résistance R dans le cadre de l'expérience précédente (lorsqu'il est parcouru par l'intensité I_0) en fonction de R_a , β , k et L . En déduire la variation relative de résistance $\delta = \frac{R - R_a}{R_a}$ puis l'écrire en fonction des grandeurs h , p , λ , L et S .

12. Le coefficient d'échange h étant déterminé par ailleurs à l'aide d'une autre expérience, proposer le mode de détermination de la conductivité thermique λ du métal constituant le fil.

Réponses

1) Loi de Fourier :

La densité volumique de courant thermique de conduction est proportionnelle à : $-\vec{\text{grad}} T$

$$\vec{j}_{\text{th}} = -\lambda \vec{\text{grad}} T$$

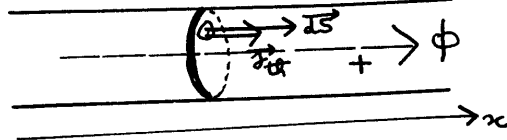
Ici, puisque $T = T(x)$

$$\vec{j}_{\text{th}} = -\lambda \frac{dT}{dx} \vec{u}_x$$

A travers une section droite :

$$\Phi_{\text{th}} = \iint_S \vec{j}_{\text{th}} \cdot d\vec{S}$$

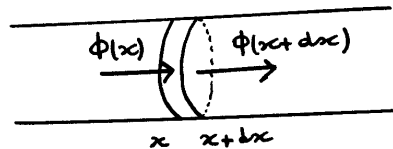
$$\text{avec } \frac{\vec{j}_{\text{th}}}{d\vec{S}} = \frac{j_{\text{th}} \vec{u}_x}{dS \vec{u}_x}$$



$$\begin{aligned} \Phi_{\text{th}} &= \iint_S j_{\text{th}} dS \\ &= j_{\text{th}} S \end{aligned}$$

$$\Phi_{\text{th}}(x) = -\lambda S \frac{dT(x)}{dx}$$

2) → Bilan thermique pendant dt à une tranche dx :



A pression supposée constante :

$$\cancel{d^2 H} = \cancel{\delta^2 Q_{\text{negu}}} + \cancel{\delta^2 Q_{\text{produit}}}$$

en régime permanent
H est indépendant
du temps

pas de terme
de source ici

$$0 = \Phi(x) dt - \Phi(x+dx) dt$$

(éventuellement :

$$0 = - \frac{d\Phi(x)}{dx} dx dt)$$

on en déduit que

$$\phi \text{ est uniforme (indépendant de } x)$$

d'où puisque :

$$\phi = - \lambda S \frac{dT}{dx}$$

$$\frac{dT}{dx} = \text{constante}$$

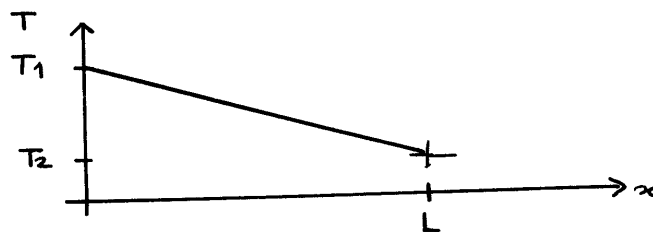
mais puisque le problème demande une "équation différentielle", on répondra :

$$\frac{d^2T}{dx^2} = 0$$

→

$$\begin{array}{l} T = Ax + B \\ \text{C.L. en } 0: T_1 = B \\ \text{en } L: T_2 = AL + B \end{array} \left. \vphantom{\begin{array}{l} T = Ax + B \\ T_1 = B \\ T_2 = AL + B \end{array}} \right\} \begin{array}{l} A = - \frac{(T_1 - T_2)}{L} \\ B = T_1 \end{array}$$

$$T = - (T_1 - T_2) \frac{x}{L} + T_1$$



3)

$$j_{\text{th}} = - \lambda \frac{dT}{dx}$$

$$= \lambda \frac{T_1 - T_2}{L}$$

$$\phi = \frac{\lambda S}{L} (T_1 - T_2)$$

(on retrouve $\Delta T = R_{\text{th}} \phi$ avec $R_{\text{th}} = \frac{1}{\lambda} \frac{L}{S}$)

ϕ est uniforme donc en $x=L$

$$\phi_2 = \frac{\lambda S}{L} (T_1 - T_2)$$

4) On connaît la formule

$$R_{\text{electrique}} = \frac{1}{\gamma_{\text{elec}}} \frac{\ell}{S}$$

On va donc trouver ici :

$$dR = \rho \frac{dx}{S}$$

Démonstration :

- au lieu de :

$$R = \frac{U}{I}$$

ici, on écrira

$$dR = \frac{dU}{I}$$

- On part de \vec{j}_{elec} uniforme avec $\vec{j}_{\text{elec}} = j_{\text{elec}} \vec{u}_x$

et donc $I = \iint \vec{j}_{\text{elec}} \cdot d\vec{S}$

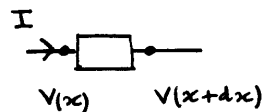
$$I = j_{\text{elec}} S$$

et

$$\begin{aligned} dV &= - \vec{E} \cdot d\vec{\ell} \\ &= - \frac{\vec{j}_{\text{elec}}}{\gamma_{\text{elec}}} \cdot d\vec{\ell} \\ &= - \rho j_{\text{elec}} dx \end{aligned}$$

(inutile d'intégrer ici pour trouver U)

ici $dV = V(x+dx) - V(x)$



dU (convention récepteur)

alors que :

$$dU = V(x) - V(x+dx)$$

$$dU = \rho j_{\text{elec}} dx$$

- on obtient effectivement :

$$dR = \frac{dU}{I} = \frac{\rho dx}{S}$$

→ La puissance thermique dégagée par effet joule est :

$$P_J = R I^2$$

Ici pour la résistance élémentaire parcourue par I

$$\begin{aligned} dP_J &= dR I^2 \\ &= \frac{\rho dx}{S} I^2 \end{aligned}$$

ce qui correspond à une puissance volumique :

$$P_{th,v} = \frac{dP_J}{d\tau} = \frac{\frac{\rho dx}{S} I^2}{S dx}$$

$$P_{th,v} = \frac{\rho}{S^2} I^2$$

remarque :

Cette formule était connue.

$$\frac{dP_{\text{regue par charges}}}{d\tau} = \vec{j}_{\text{elec}} \cdot \vec{E}$$

pour un conducteur ohmique ($\vec{j}_{\text{elec}} = \gamma \vec{E}$), on retrouve la puissance par effet joule

$$\begin{aligned} \frac{dP_J}{d\tau} &= \vec{j}_{\text{elec}} \cdot \frac{\vec{j}_{\text{elec}}}{\gamma} \\ &= \frac{j_{\text{elec}}^2}{\gamma} \\ &= \rho \left(\frac{I}{S} \right)^2 \end{aligned}$$

5) Bilan thermique pendant dt à une tranche dx

$$\frac{d^2 H}{\text{regime permanent}} = S^2 Q_{\text{regu}} + I^2 Q_{\text{produit}}$$

$$0 = - \frac{d\Phi(x)}{dx} dx dt + \frac{\rho I^2}{S^2} S dx dt$$

$$0 = \lambda S \frac{d^2 T(x)}{dx^2} dx dt + \frac{\rho I^2}{S} dx dt$$

donc

$$\frac{d^2 T(x)}{dx^2} = - \frac{\rho I^2}{\lambda S^2}$$

$$\frac{dT}{dx} = - \frac{\rho I^2}{\lambda S^2} x + A$$

$$T = - \frac{\rho I^2}{2\lambda S^2} x^2 + Ax + B$$

$$\text{c.l. } T_1 = B$$

$$T_2 = - \frac{\rho I^2}{2\lambda S^2} L^2 + AL + B$$

d'où :

$$B = T_1$$

$$A = \frac{T_2 - T_1}{L} + \frac{\rho I^2}{2\lambda S^2} L$$

finallement :

$$T = - \frac{\rho I^2}{2\lambda S^2} x^2 + \frac{\rho I^2}{2\lambda S^2} Lx + \frac{T_2 - T_1}{L} x + T_1$$

$$T = \frac{\rho I^2}{2\lambda S^2} x(L-x) - (T_1 - T_2) \frac{x}{L} + T_1$$

$$j_{th} = -\lambda \frac{dT}{dx}$$

$$j_{th} = - \frac{\rho I^2}{2S^2} (L - 2x) + \frac{\lambda}{L} (T_1 - T_2)$$

6)

$$\Phi_{th} = j_{th} S$$

$$= - \frac{\rho I^2}{2S} (L - 2x) + \frac{\lambda S}{L} (T_1 - T_2)$$

$$\text{avec } \mathcal{C} = \frac{\lambda S}{L}$$

$$\text{et } R = \frac{\rho L}{S}$$

$$\Phi_{th}(x) = - \frac{1}{2} R I^2 \left(1 - 2 \frac{x}{L}\right) + \mathcal{C} (T_1 - T_2)$$

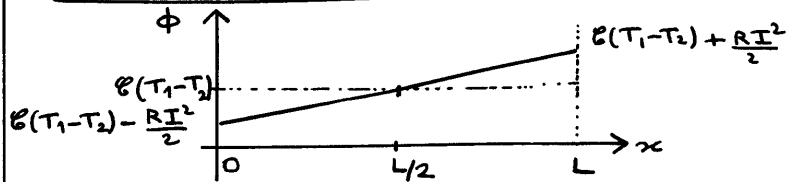
$$T(x) = \frac{1}{\lambda S} \left(\frac{1}{2} R I^2 x \left(1 - \frac{x}{L}\right) - \mathcal{C} (T_1 - T_2) x \right) + T_1$$

remarque :

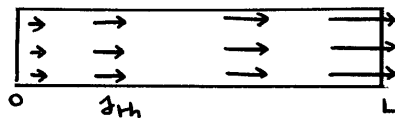
On peut tracer $\phi(x)$ dans les deux cas proposés

avec $\phi_{Hh}(x=0) = \mathcal{C}(T_1 - T_2) - \frac{1}{2} R I^2$
 $\phi_{Hh}(x=L) = \mathcal{C}(T_1 - T_2) + \frac{1}{2} R I^2$

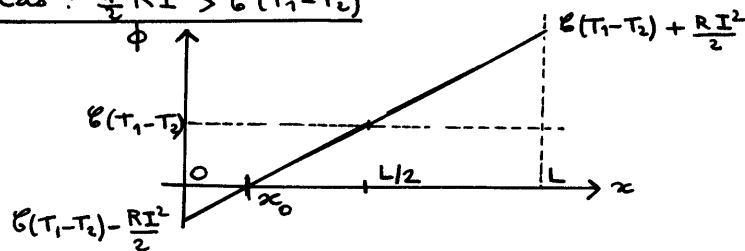
Cas : $\frac{1}{2} R I^2 < \mathcal{C}(T_1 - T_2)$



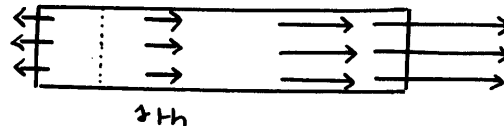
ϕ toujours positif



Cas : $\frac{1}{2} R I^2 > \mathcal{C}(T_1 - T_2)$



ϕ négatif pour x "petit".



→ Pour tracer T on étudie la dérivée $\left(\frac{dT}{dx} = -\frac{\phi_{Hh}}{\lambda} = -\frac{\phi}{\lambda \delta} \right)$

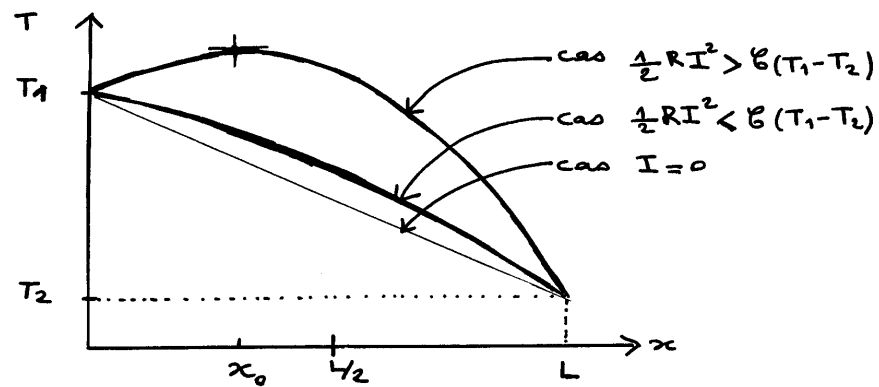
• si $\frac{1}{2} R I^2 < \mathcal{C}(T_1 - T_2)$ $\frac{dT}{dx} < 0$ pour $0 < x < L$

• si $\frac{1}{2} R I^2 > \mathcal{C}(T_1 - T_2)$ $\frac{dT}{dx} > 0$ pour $0 < x < x_0$

$\frac{dT}{dx} < 0$ pour $x_0 < x < L$

avec x_0 valeur qui annule ϕ

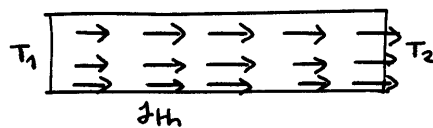
$$x_0 = \frac{L}{2} \left(1 - \frac{\mathcal{C}(T_1 - T_2)}{R I^2 / 2} \right)$$



Commentaire

On peut considérer que l'état obtenu s'obtient par superposition de deux états stationnaires.

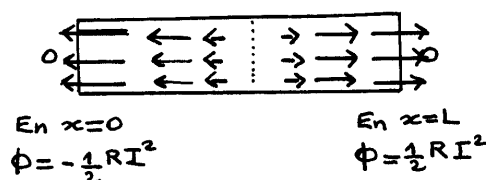
→ le premier (pas de courant électrique donc pas d'effet joule)
étudié dans la première partie :



$$\phi = G(T_1 - T_2)$$

$$T = -\frac{1}{\lambda S} G(T_1 - T_2)x + T_1$$

→ le deuxième (courant électrique produisant de l'effet joule)



$$\phi = -\frac{1}{2} R I^2 \left(1 - \frac{2x}{L}\right)$$

$$T = \frac{1}{\lambda S} \frac{1}{2} R I^2 x \left(1 - \frac{x}{L}\right)$$

La situation étudiée est la somme de ces deux états.

On comprend que si l'effet joule est important, pour $x < \frac{L}{2}$ on aura une abscisse x_0 telle que $\phi(x_0) = 0$, avec $T(x_0)$ maximal. Pour $x < x_0$ ϕ sera alors négatif.

7) La puissance thermique cédée à la source T_2 est :

$$\phi'_2 = G(T_1 - T_2) + \frac{1}{2} R I^2$$

C'est la puissance qui passait dans la première partie ϕ_2 plus la moitié de la puissance produite par effet Joule.

- 8) Dans le bilan thermique pour la tranche dx pendant dt , il faut ajouter les échanges conductor-convectifs au niveau de la surface latérale.

On avait :

$$\frac{d^2 T}{dx^2} = \lambda S \frac{d^2 T(x)}{dx^2} dx dt + \frac{\rho I^2}{S} dx dt$$

On aura :

$$0 = \lambda S \frac{d^2 T(x)}{dx^2} dx dt + \frac{\rho I^2}{S} dx dt - h (T(x) - T_a) P dx dt$$

$$0 = \frac{d^2 T(x)}{dx^2} + \frac{\rho I^2}{S^2 \lambda} - \frac{h P}{S \lambda} (T(x) - T_a)$$

On tient compte de l'expression de $P = P_a (1 + \beta (T(x) - T_a))$

$$0 = \frac{d^2 T(x)}{dx^2} + \frac{\rho_a I^2}{S^2 \lambda} + \left(\frac{\rho_a \beta I^2}{S^2 \lambda} - \frac{h P}{S \lambda} \right) (T(x) - T_a)$$

et avec la variable $\theta = (T(x) - T_a)$:

$$\boxed{\frac{d^2 \theta(x)}{dx^2} + \underbrace{\left(\frac{\rho_a I^2 \beta}{\lambda S^2} - \frac{h P}{\lambda S} \right)}_{m^2} \theta(x) = - \underbrace{\frac{\rho_a I^2}{\lambda S^2}}_k}$$

a) $m^2 > 0$ $\theta(x) = \text{sinusoïde} + \text{constante}$

$m^2 = 0$ $\theta(x) = \text{parabole}$

$m^2 < 0$ $\theta(x) = \text{exponentielles} + \text{constante}$

10) $m^2 = 0$

$$\frac{\rho_a I_0^2 \beta}{\lambda S^2} = \frac{h P}{\lambda S}$$

$$\boxed{I_0^2 = \frac{h P S}{\rho_a \beta}}$$

et l'équation différentielle devient :

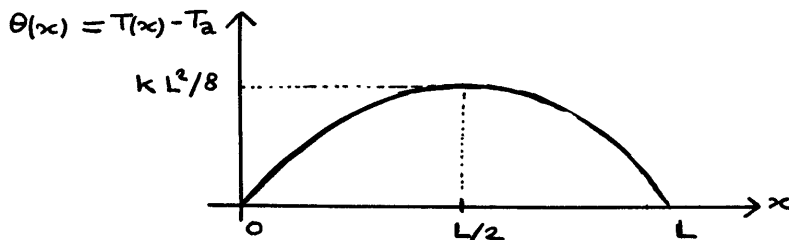
$$\frac{d^2\theta(x)}{dx^2} = -k$$

$$\theta(x) = -\frac{k}{2}x^2 + Ax + B$$

$\theta(x)$ est nul en $x=0$ et en $x=L$

$$\left. \begin{array}{lcl} \text{C.L. } x=0 & 0 & = B \\ x=L & 0 & = -\frac{k}{2}L^2 + AL + B \end{array} \right\} \begin{array}{l} B=0 \\ A=\frac{kL}{2} \end{array}$$

$$\boxed{\theta(x) = \frac{k}{2}x(L-x)}$$



La température est maximale en $x = L/2$.

Pour $m^2=0$, les pertes conducto-convectives contrebalancent exactement la partie variable de l'effet joule (en lien avec le ρ en $T - T_a$).

Le problème se réduit à une tige maintenue à T_a à chaque extrémité avec de l'effet joule uniforme (en lien avec $\rho = \rho_a$).

Le problème est donc symétrique (maximum en $x = L/2$ au milieu)

$$11) \rightarrow \boxed{R_2 = \frac{\rho_a L}{S}}$$

→ Pour une tranche dx

$$\begin{aligned} dR &= \frac{\rho}{S} dx \\ &= \frac{\rho_a}{S} dx (1 + \beta (T(x) - T_a)) \end{aligned}$$

$$\begin{aligned}
 R &= R_a + \frac{R_a}{L} \beta \int_{x=0}^{x=L} (T(x) - T_a) dx \\
 &= R_a + \frac{R_a}{L} \beta \underbrace{\frac{k}{2} \int_0^L x(L-x) dx}_{\frac{L^3}{6}}
 \end{aligned}$$

$$R = R_a \left(1 + \frac{\beta k L^2}{12} \right)$$

$$\delta = \frac{R - R_a}{R_a}$$

$$\delta = \frac{\beta k L^2}{12}$$

$$\text{avec } k = \frac{P_a I_0^2}{\lambda S^2} \quad (\text{cf 8})$$

$$= \frac{h P}{\beta \lambda S} \quad (\text{cf 10})$$

finallement :

$$\delta = \frac{h P L^2}{12 \lambda S}$$

12) La mesure de δ permet alors de déterminer λ

$$\text{avec : } \lambda = \frac{h P L^2}{12 S} \frac{1}{\delta}$$